

EXERCICE 1 : Mesure de l'épaisseur d'une lame de verre :

(≈ pts)

Q1. Sans lame de verre :

$$\delta = (ST_2M) - (ST_1M) = (ST_2) + (T_2M) - (ST_1) - (T_1M).$$

Or graphiquement, on remarque que : $(ST_2) = (ST_1)$.

Donc $\delta = (T_2M) - (T_1M) = T_2M - T_1M = l_2 - l_1$, car les rayons se propagent dans l'air d'indice pris égal à 1.

🚦 Dans le triangle rectangle (HMT₁), d'après Pythagore on a : $l_1^2 = D^2 + \left(x - \frac{a}{2}\right)^2$;

$$\text{Donc : } l_1 = \sqrt{D^2 + \left(x - \frac{a}{2}\right)^2} = D \sqrt{1 + \frac{\left(x - \frac{a}{2}\right)^2}{D^2}} ;$$

Or $\frac{\left(x - \frac{a}{2}\right)^2}{D^2} \ll 1$, donc on peut simplifier l'écriture précédente : $l_1 \approx$

$$D \left(1 + \frac{\left(x - \frac{a}{2}\right)^2}{2D^2} \right) = D + \frac{\left(x - \frac{a}{2}\right)^2}{2D} ;$$

🚦 De même, dans le triangle (HMT₂), on a $l_2^2 = D^2 + \left(x + \frac{a}{2}\right)^2$;

$$\text{Donc : } l_2 = \sqrt{D^2 + \left(x + \frac{a}{2}\right)^2} = D \sqrt{1 + \frac{\left(x + \frac{a}{2}\right)^2}{D^2}} ;$$

Et pour les mêmes raisons que précédemment, $l_2 \approx D \left(1 + \frac{\left(x + \frac{a}{2}\right)^2}{2D^2} \right) = D + \frac{\left(x + \frac{a}{2}\right)^2}{2D}$;

Ainsi : $\delta = T_2M - T_1M = l_2 - l_1 \approx D + \frac{\left(x + \frac{a}{2}\right)^2}{2D} - D - \frac{\left(x - \frac{a}{2}\right)^2}{2D} \approx \frac{2xa}{2D}$. Soit : $\delta = \frac{xa}{D}$.

Q2. Avec la lame de verre :

De nouveau : $\delta' = (T_2M) - (T_1M)$.

On a encore $(T_2M) = T_2M = l_2$.

Mais $(T_1M) = T_1M - e + n_v e$
 $= l_1 + (n_v - 1)e$

car le rayon lumineux parcourt la distance $(T_1M - e)$ dans l'air et la distance e dans le verre d'indice n_v .

Alors :

$$\delta' = l_2 - [l_1 + (n_v - 1)e] = l_2 - l_1 - (n_v - 1)e ; \text{ Soit : } \delta' = \frac{ax}{D} - (n_v - 1)e.$$

Q3. On veut $\delta' = 0$. Alors $\frac{ax_c}{D} = (n_v - 1)e$. Soit : $x_c = \frac{De}{a} (n_v - 1)$.

Quand la lame est absente, $\delta = 0$ en $x = 0$.

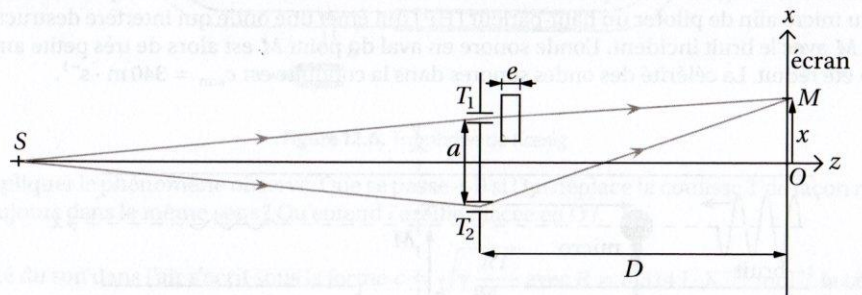
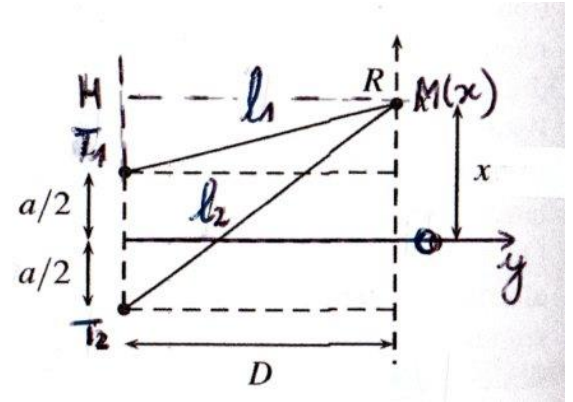
Cette frange s'est donc décalée de x_c dans la direction de l'axe Ox .

Q4. D'après la question précédente, $e = \frac{ax_c}{D(n_v - 1)}$; AN : $e = \frac{100 \cdot 10^{-6} \times 0,285}{1(1,57 - 1)}$.

On obtient : $e = 5 \cdot 10^{-5} \text{ m} = 50 \mu\text{m}$.

Q5. La frange centrale **ne peut pas être distinguée des autres franges brillantes** correspondant elles aussi à des interférences constructives.

La position de la frange centrale n'est donc connue que modulo l'interfrange $i = \frac{\lambda D}{a}$ sur l'écran.



EXERCICE 2 : Jeux sur une piste :

(D'après ENAC 2022)

(≈ pts)

Q1. On nous dit que le mouvement est uniforme sur tout le trajet, ce qui signifie que la norme v de la vitesse est constante et $v = \frac{d}{t}$.

Connaissant la longueur du trajet, on peut écrire $\tau = \frac{AB+BC+CD+DE}{v}$. AN : $\tau = \frac{425}{25} = \frac{17 \times 25}{25}$; On obtient $\tau = 17 \text{ s}$.

Réponse C.

Q2. En utilisant la base de Frenet, on a vu que : $\vec{a}(t) = \frac{dv}{dt} \vec{T} + \frac{v^2}{R} \vec{N}$.

Or ici, le mouvement est uniforme donc $\frac{dv}{dt} = 0$; Alors $a_1 = \|\vec{a}\| = \frac{v^2}{R_1}$.

D'autre part, on accède au rayon R_1 grâce à la longueur du quart de cercle $BC = \frac{1}{4} 2\pi R_1 = \frac{\pi R_1}{2}$;

Soit : $R_1 = \frac{2 BC}{\pi}$; D'où $a_1 = \frac{v^2}{\frac{2 BC}{\pi}}$; Ou encore : $a_1 = \frac{\pi v^2}{2 BC}$.

AN : $a_1 = \frac{\pi \times 0,25^2}{2 \times 0,50} = \pi \times \left(\frac{1}{4}\right)^2 = \frac{\pi}{16} \approx \frac{3}{15} = \frac{3}{3 \times 5} = \frac{1}{5}$; On obtient : $a_1 \approx 0,2 \text{ m.s}^{-2}$.

Réponse B.

Remarque : On aurait aussi pu utiliser les coordonnées polaires :

Pour un mouvement circulaire uniforme on a $v = r\dot{\theta} = \text{cste}$ donc l'accélération s'écrit $\vec{a} = -r\dot{\theta}^2 \vec{e}_r = -\frac{v^2}{r} \vec{e}_r$.

Q3. Avec exactement le même raisonnement on obtient $a_2 = \frac{v^2}{R_2} = \frac{v^2}{\frac{2 CD}{\pi}} = \frac{\pi v^2}{2 CD}$, car $R_2 = \frac{2 CD}{\pi}$

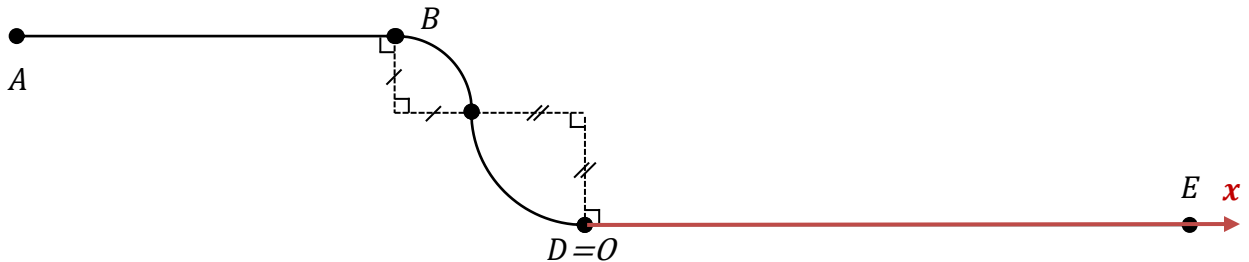
En faisant le rapport des deux expressions, on obtient :

$\frac{a_2}{a_1} = \frac{\pi v^2}{2 CD} \times \frac{2 BC}{\pi v^2} = \frac{BC}{CD}$, D'où : $\frac{a_2}{a_1} = \frac{BC}{CD}$; AN : $\frac{a_2}{a_1} = \frac{50}{75}$; Ainsi : $\frac{a_2}{a_1} = \frac{2}{3}$

Réponse C.

Remarque : Le virage est moins brusque, il est bien normal de trouver une accélération plus faible que de B à C.

Q4.



Posons x_a et x_b les positions respectives des mobiles M_a et M_b sur l'axe DE dont nous prenons l'origine en D , comme indiqué sur le graphe ci-dessus ;

On note $v_a = 0,25 \text{ cm.s}^{-1}$ la norme de la vitesse du mobile M_a et $v_b = 0,50 \text{ cm.s}^{-1}$ la norme de la vitesse du mobile M_b . On a alors : $x_a = v_a t$ et $x_b = DE - v_b t$.

et l'on cherche le temps t_r tel que $x_a = x_b$; D'où $v_a t_r = DE - v_b t_r$; Ainsi : $t_r = \frac{DE}{v_a + v_b}$;

AN : $t_r = \frac{2}{0,25 + 0,50} = \frac{8 \times 0,25}{3 \times 0,25} = \frac{8}{3}$; On obtient : $t_r \approx 2,7 \text{ s}$.

Réponse B.

Q5. On a alors : $d_a = v_a t_r$ AN : $d_a \approx 0,25 \times \frac{8}{3} = \frac{2}{3}$; On obtient : $d_a \approx 0,67 \text{ m} = 67 \text{ cm}$. Réponse B.

Q6. Appelons $t_0 = t_r - \frac{1}{5} \approx \frac{8}{3} - \frac{1}{5} \approx \frac{40-3}{15}$; Soit : $t_0 \approx \frac{37}{15} \text{ s}$.

C'est le temps pour lequel nous souhaitons connaître $d = x_b - x_a$.

Alors : $d = DE - v_b t_0 - v_a t_0 = DE - (v_b + v_a) t_0$.

AN : $d \approx 200 - 75 \times \frac{37}{15} = 200 - 5 \times 15 \times \frac{37}{15} = 200 - 185$; On obtient : $d \approx 15 \text{ cm}$.

Réponse C

EXERCICE 3 : Expériences en laboratoire :

(≈ 43 pts)

I – Expérience N° 1 : Détermination de la masse volumique de l'eau salée : (D'après CAPES 2022)

Q1. Référentiel : Terrestre supposé galiléen.

Base de projection cartésienne : Axe Oz descendant, de vecteur unitaire \vec{e}_z .

Système : Le cylindre en plomb M de masse m .

Bilan des forces dans le 1^{er} cas :
Poids : $\vec{P} = +mg \vec{e}_z$
Tension du fil : $\vec{T} = -T \vec{e}_z$.

Condition d'équilibre : $\sum \vec{F} = \vec{0}$.

En projetant sur Oz , il vient : $mg - T = 0$; Soit $T = mg$.

Bilan des forces dans le 2^{ème} cas :
Poids : $\vec{P} = +mg \vec{e}_z$
Tension du fil : $\vec{T}' = -T' \vec{e}_z$.
Poussée d'Archimède : $\vec{\pi}_A = -\pi_A \vec{e}_z$.

Condition d'équilibre : $\sum \vec{F} = \vec{0}$.

En projetant sur Oz , il vient : $mg - \pi_A - T' = 0$; Soit $\pi_A = mg - T' = T - T'$.

Q2. L'expression de la norme de la Poussée d'Archimède est $\pi_A = \rho_{\text{eau salée}} V_{\text{im}} g$.

Soit : $\rho_{\text{eau salée}} = \frac{\pi_A}{V_{\text{im}} g} = \frac{T - T'}{V_{\text{im}} g}$; AN : $\rho_{\text{eau salée}} = \frac{2-1,7}{25.10^{-6} \times 9,8}$; On obtient : $\rho_{\text{eau salée}} \approx 1200 \text{ kg.m}^{-3}$.

II – Expérience N° 2 : Détermination du coefficient de viscosité η de l'eau : (D'après oral CCINP)

Q3. On s'intéresse dans cette question à une condition d'équilibre, donc pas de force de frottements.

Référentiel : Terrestre supposé galiléen.

Base de projection cartésienne : Axe Oz descendant, de vecteur unitaire \vec{e}_z .

Système : Bille M de masse m_b .

Bilan des forces :

Poids : $\vec{P} = +m_b g \vec{e}_z$
Force de Hooke : $\vec{T} = -k(l_e - l_0) \vec{e}_z$.
Poussée d'Archimède : $\vec{\pi}_A = -\pi_A \vec{e}_z = -\rho_{\text{eau}} V_{\text{im}} g \vec{e}_z = -\rho_{\text{eau}} \frac{4}{3} \pi b^3 g \vec{e}_z$.

Condition d'équilibre : $\sum \vec{F} = \vec{0}$.

En projetant sur Oz , il vient : $m_b g - k(l_e - l_0) - \frac{4}{3} \pi b^3 \rho_{\text{eau}} g = 0$; Soit $l_e - l_0 = \frac{m_b g}{k} + \frac{4 \pi b^3 \rho_{\text{eau}} g}{3 k}$.

Q4. Hors équilibre, nouveau bilan de forces :

Poids : $\vec{P} = +m_b g \vec{e}_z$
Force de Hooke : $\vec{T} = -k(l - l_0) \vec{e}_z = -k(l_e + z - l_0) \vec{e}_z$.
Poussée d'Archimède : $\vec{\pi}_A = -\pi_A \vec{e}_z = -\rho_{\text{eau}} V_{\text{im}} g \vec{e}_z = -\rho_{\text{eau}} \frac{4}{3} \pi b^3 g \vec{e}_z$.
Force de frottements fluides : $\vec{f} = -6\pi\eta b \dot{z} \vec{e}_z$.

2^{ème} loi de Newton à M : $\sum \vec{F} = m \vec{a}$ Donc $\vec{P} + \vec{T} + \vec{\pi}_A + \vec{f} = m_b \vec{a}$ avec $\vec{a} = \ddot{z} \vec{e}_z$.

Projetons sur l'axe Oz : $m_b g - k(l_e + z - l_0) - \frac{4}{3} \pi b^3 \rho_{\text{eau}} g - 6\pi\eta b \dot{z} = m_b \ddot{z}$

Or d'après Q3, $-k(l_e - l_0) = -m_b g + \frac{4}{3} \pi b^3 \rho_{\text{eau}} g$

Dans l'équation précédente, il vient : $m_b g - kz - m_b g + \frac{4}{3} \pi b^3 \rho_{\text{eau}} g - \frac{4}{3} \pi b^3 \rho_{\text{eau}} g - 6\pi\eta b \dot{z} = m_b \ddot{z}$

En simplifiant, il vient : $m_b \ddot{z} + 6\pi\eta b \dot{z} + kz = 0$

Ou encore sous forme canonique : $\ddot{z} + \frac{6\pi\eta b}{m_b} \dot{z} + \frac{k}{m_b} z = 0$.

En identifiant avec la forme proposée : $\ddot{z} + 2\lambda \dot{z} + \omega_0^2 z = 0$, il vient : $\omega_0 = \sqrt{\frac{k}{m_b}}$ et $\lambda = \frac{3\pi\eta b}{m_b}$.

Q5. On obtient des oscillations, si le **régime est pseudopériodique.**

Equation caractéristique : $s^2 + 2\lambda s + \omega_0^2 = 0$.

Discriminant : $\Delta = 4\lambda^2 - 4\omega_0^2 = 4(\lambda^2 - \omega_0^2)$.

Pour avoir un régime pseudopériodique, il faut que $\Delta < 0$, donc que $\lambda^2 < \omega_0^2$; Soit : $\boxed{\lambda < \omega_0}$, car toutes ces grandeurs sont positives.

Alors la pseudo-oscillation est $\Omega = \frac{\sqrt{-\Delta}}{2} = \sqrt{\omega_0^2 - \lambda^2}$.

Ainsi, la pseudo-période est $\boxed{T = \frac{2\pi}{\Omega} = \frac{2\pi}{\sqrt{\omega_0^2 - \lambda^2}}}$.

Q6. Si le mouvement se faisait dans l'air, le bilan des forces serait simplifié : ($\vec{\pi}_A = \vec{0}$ et $\vec{f} = \vec{0}$).

Poids : $\vec{P} = +m_b g \vec{e}_z$

Force de Hooke : $\vec{T} = -k(l - l_0)\vec{e}_z = -k(l_e + z - l_0)\vec{e}_z$.

2^{ème} loi de Newton à M : $\sum \vec{F} = m\vec{a}$ Donc $\vec{P} + \vec{T} = m_b \vec{a}$ avec $\vec{a} = \ddot{z} \vec{e}_z$.

Projetons sur l'axe Oz : $m_b g - k(l_e + z - l_0) = m_b \ddot{z}$.

Et la condition d'équilibre conduirait à : $m_b g - k(l_e - l_0) = 0$.

Ce qui permet de simplifier l'équation du mouvement en : $m_b \ddot{z} + kz = 0$.

Sous forme canonique, il vient : $\boxed{\ddot{z} + \omega_0^2 z = 0 \text{ avec } \omega_0 = \sqrt{\frac{k}{m_b}}}$.

Ainsi la période propre est $\boxed{T_0 = \frac{2\pi}{\omega_0} = 2\pi \sqrt{\frac{m_b}{k}}}$.

Q7. D'après Q5, $\frac{1}{T^2} = \frac{\omega_0^2 - \lambda^2}{4\pi^2} = \frac{\omega_0^2}{4\pi^2} - \frac{\lambda^2}{4\pi^2} = \frac{1}{T_0^2} - \frac{9\pi^2 \eta^2 b^2}{4\pi^2 m_b^2} = \frac{1}{T_0^2} - \frac{9\eta^2 b^2}{4m_b^2}$

Soit : $\frac{9\eta^2 b^2}{4m_b^2} = \frac{1}{T_0^2} - \frac{1}{T^2}$; Et $\eta^2 = \frac{4m_b^2}{9b^2} \left(\frac{1}{T_0^2} - \frac{1}{T^2} \right)$; Enfin : $\boxed{\eta = \frac{2m_b}{3b} \sqrt{\frac{1}{T_0^2} - \frac{1}{T^2}}}$.

Protocole :

On mesure la pseudo-période T avec la bille dans l'éprouvette.

On mesure la période propre T_0 avec la bille dans l'air.

On en déduit la viscosité η avec la formule précédemment établie, en connaissant sa masse m_b et son rayon b .

EXERCICE 4 : Etude de la chute de la grêle : (D'après ATS 2022) (≈ 22 pts)

I - Chute sans frottement :

Q1. On considère un grêlon de masse m . Dans cette question, il n'est soumis qu'à son poids.

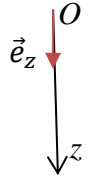
Référentiel : Terrestre supposé galiléen.

Base de projection cartésienne : Axe Oz vertical descendant.

Système : Grêlon de masse m .

Force : Poids : $\vec{P} = m\vec{g} = mg\vec{e}_z$.

PFD à M : $\sum \vec{F} = m\vec{a}$ Donc $\vec{P} = m\vec{a}$ avec $\vec{a} = \ddot{z} \vec{e}_z$.



Projetons sur l'axe vertical : On obtient donc : $\ddot{z} = g$.

On prend une primitive, alors $v(t) = \dot{z}(t) = gt + cste 1$.

Or à $t = 0$, on suppose que la vitesse initiale est nulle. Alors $cste 1 = 0$. Et $v(t) = gt$ (équation (1)).

Nouvelle primitive : $z(t) = \frac{1}{2} g t^2 + cste 2$.

Or à $t = 0$, on suppose que $z = 0$. D'où $cste 2 = 0$ et $z(t) = \frac{1}{2} g t^2$ (équation (2)).

On nous demande $v(z)$. D'après (2), $t = \sqrt{\frac{2z}{g}}$, puis en remplaçant dans (1), il vient : $v(z) = g \sqrt{\frac{2z}{g}}$.

Soit : $v(z) = \sqrt{2gz}$.

AN : Après une chute de 1 km : $v(1000 \text{ m}) = \sqrt{2 \times 9,8 \times 1000}$;

On obtient $v(1000 \text{ m}) \approx 140 \text{ m.s}^{-1} \approx 500 \text{ km.h}^{-1}$.

L'énoncé dit que leur vitesse au sol avoisine les 100 km.h⁻¹.

Cela n'est pas cohérent avec la modélisation. **Il n'est pas raisonnable de négliger les frottements.**

II - Chute avec frottements quadratiques :

Q2. On ajoute la force de frottement de l'air sur le grêlon de la forme : $\vec{f} = -\alpha v^2 \vec{e}_z$.

Référentiel : Terrestre supposé galiléen.

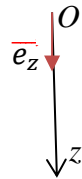
Base de projection cartésienne : Axe Oz vertical descendant.

Système : Balle M de masse m .

Forces : Poids : $\vec{P} = m\vec{g} = mg\vec{e}_z$.

Force de frottement : $\vec{f} = -\alpha v^2 \vec{e}_z$.

PFD à M : $\sum \vec{F} = m\vec{a}$ Donc $\vec{P} + \vec{f} = m\vec{a}$ avec $\vec{a} = \ddot{z} \vec{e}_z = \dot{v} \vec{e}_z$.



Projetons sur l'axe vertical : On obtient donc : $m \dot{v} = mg - \alpha v^2$

Ou encore (sous forme canonique : $\dot{v} + \frac{\alpha}{m} v^2 = g$).

Q3. On cherche uniquement la vitesse limite : $v_{lim} = cste$ donc $\frac{dv_{lim}}{dt} = 0$ et $v_{lim} = \sqrt{\frac{mg}{\alpha}}$.

Q4. On s'intéresse à un grêlon sphérique de 8 cm de diamètre. Donc $R = 4 \text{ cm}$.

$m = \rho_{eau} V_{sphère} = \rho_{eau} \frac{4}{3} \pi R^3$ et $\alpha = \frac{1}{2} \rho_{air} \pi R^2 C$,

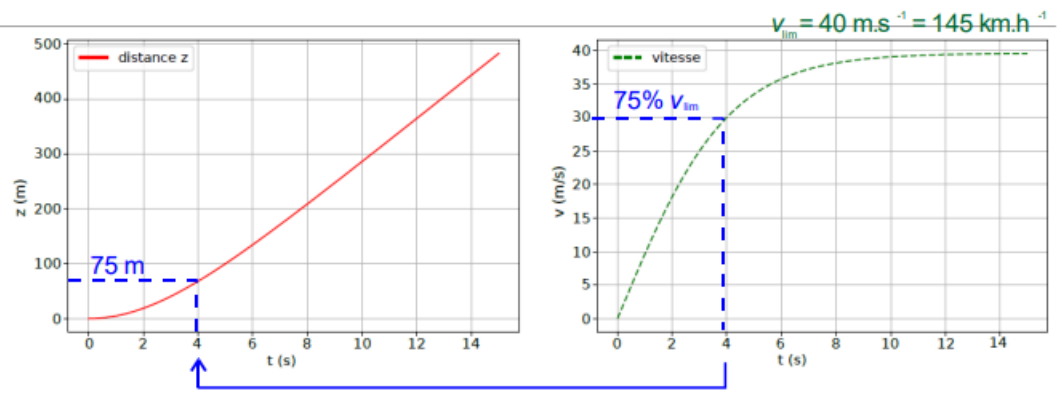
D'où $v_{lim} = \sqrt{\frac{\frac{4}{3} \pi R^3 \rho_{eau} g}{\frac{1}{2} \rho_{air} \pi R^2 C}} = \sqrt{\frac{8 R \rho_{eau} g}{3 \rho_{air} C}}$; Soit : $v_{lim} = \sqrt{\frac{8 R \rho_{eau} g}{3 \rho_{air} C}}$.

AN : $v_{lim} = \sqrt{\frac{8 \times 0,04 \times 1000 \times 9,8}{3 \times 1,2 \times 0,5}}$. On obtient $v_{lim} \approx 42 \text{ m.s}^{-1} \approx 150 \text{ km.h}^{-1}$.

La vitesse limite de ce modèle est mieux que dans le modèle sans frottement mais **elle reste surestimée.**

Q5. On lit $v_{lim} \approx 40 \text{ m.s}^{-1}$.
Donc $75\% v_{lim} = 30 \text{ m.s}^{-1}$.
On en déduit le temps sur
le graphe 2, puis l'altitude
sur le graphe 1.

Il faut donc environ **75 m de chute** au grêlon pour
obtenir 75 % de sa vitesse
limite.



EXERCICE 5 : Mouvement pendulaire d'un sac de sable : (D'après G2E 2022) ($\approx 25 \text{ pts}$)

I - Cinématique du point :

Q1. On sait que $\vec{OM} = \ell(t) \vec{e}_r$ avec $\ell(t) = \ell_0 + kt$

Alors $\vec{v}_M = \frac{d\vec{OM}}{dt} = \frac{d\ell(t)}{dt} \vec{e}_r + \ell(t) \frac{d\vec{e}_r}{dt}$; Or $\frac{d\ell(t)}{dt} = k$ et $\frac{d\vec{e}_r}{dt} = \dot{\theta} \vec{e}_\theta$.

D'où : $\vec{v}_M = k \vec{e}_r + \ell(t) \dot{\theta} \vec{e}_\theta$.

Enfin : $\vec{a}(t) = \frac{d\vec{v}}{dt}(t) = k \frac{d\vec{e}_r}{dt} + \frac{d\ell(t)}{dt} \dot{\theta} \vec{e}_\theta + \ell(t) \ddot{\theta} \vec{e}_\theta + \ell(t) \dot{\theta} \frac{d\vec{e}_\theta}{dt}$.

D'où : $\vec{a}(t) = k \dot{\theta} \vec{e}_\theta + k \dot{\theta} \vec{e}_\theta + \ell(t) \ddot{\theta} \vec{e}_\theta - \ell(t) \dot{\theta}^2 \vec{e}_r$.

Ou encore : $\vec{a}(t) = -\ell(t) \dot{\theta}^2 \vec{e}_r + [2k \dot{\theta} + \ell(t) \ddot{\theta}] \vec{e}_\theta$.

k s'exprime en m.s^{-1} ; Cette constante est donc **homogène à une vitesse**.

II - Dynamique du point :

Q2. Les vecteurs polaires \vec{e}_r et \vec{e}_θ ont été schématisés.

Les deux forces qui agissent en M sont le poids et la tension du fil.

- La tension : $\vec{T} = -T \vec{e}_r$.
- Le poids : $\vec{P} = m \vec{g} = +mg \cos(\theta) \vec{e}_r - mg \sin(\theta) \vec{e}_\theta$.

Q3. Référentiel : Terrestre supposé galiléen.

Base de projection polaire : $(\vec{e}_r, \vec{e}_\theta)$

Système : Le point matériel M de masse m .

Bilan des forces : Poids : $+mg \cos(\theta) \vec{e}_r - mg \sin(\theta) \vec{e}_\theta$.

Tension du fil : $\vec{T} = -T \vec{e}_r$.

2^{ème} loi de Newton à M : $\sum \vec{F} = m\vec{a}$ Donc $\vec{P} + \vec{T} = m\vec{a}$ avec $\vec{a} = -\ell(t) \dot{\theta}^2 \vec{e}_r + [2k \dot{\theta} + \ell(t) \ddot{\theta}] \vec{e}_\theta$ (cf Q1).

Projetons sur l'axe de la tension : \vec{e}_r : On obtient donc :

$$mg \cos \theta - T = -m \ell(t) \dot{\theta}^2 \quad \text{Soit : } \boxed{T = m \ell(t) \dot{\theta}^2 + mg \cos \theta}.$$

Q4. Pour obtenir l'équation différentielle du mouvement du sac, il faut projeter la 2^{ème} loi de Newton sur \vec{e}_θ :

Il vient : $-mg \sin \theta + 0 = m [2k \dot{\theta} + \ell(t) \ddot{\theta}]$. D'où : $m \ell(t) \ddot{\theta} + 2m k \dot{\theta} + mg \sin \theta = 0$

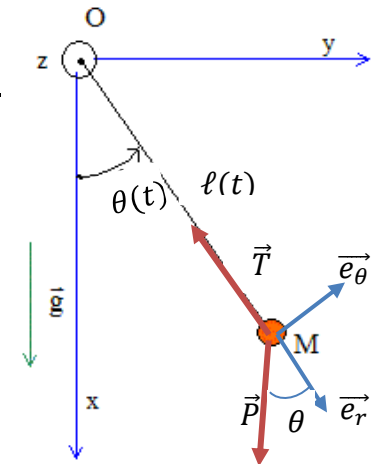
Dans le cadre des petits angles : $\sin(\theta) \approx \theta$

Et sous forme canonique, il vient : $\boxed{\ddot{\theta} + \frac{2k}{\ell(t)} \dot{\theta} + \frac{g}{\ell(t)} \theta = 0}$; CQFT

Q5. A $t = 0 \text{ s}$, on nous donne $\theta_0 = 15^\circ$, $\ell_0 = 20 \text{ m}$ et on lit : $\dot{\theta}(0) = 0$, car la courbe $\theta(t)$ présente une tangente horizontale en 0. Alors à $t = 0 \text{ s}$, on a : $T = m \ell_0 \dot{\theta}(0)^2 + mg \cos(\theta_0)$.

AN : $T = 0 + 200 \times 9,8 \times \cos(15^\circ)$; On obtient : $\boxed{T \approx 1,9 \cdot 10^3 \text{ N}}$.

Q6. A partir de $t = 20 \text{ s}$, **les coefficients devant θ et $\dot{\theta}$ deviennent négatifs**, car $\ell(t) < 0$, ce qui explique que la solution diverge.



PROBLEME : Etude du mouvement d'une bille dans un tube horizontal en rotation uniforme :

(≈ 47 pts)

Préliminaire :

Q1. On nous donne $\vec{r} = \overrightarrow{OP} = r \vec{u}_r$.

Donc $\vec{v} = \dot{r} \vec{u}_r + r \dot{\theta} \vec{u}_\theta = \dot{r} \vec{u}_r + r\omega \vec{u}_\theta$

Ainsi $\vec{a} = \frac{d\vec{v}}{dt} = \ddot{r} \vec{u}_r + \dot{r} \frac{d\vec{u}_r}{dt} + \dot{r}\omega \vec{u}_\theta + r\omega \frac{d\vec{u}_\theta}{dt}$, car $\omega = \text{cste}$. On rappelle que $\frac{d\vec{u}_r}{dt} = \dot{\theta} \vec{u}_\theta$ et $\frac{d\vec{u}_\theta}{dt} = -\dot{\theta} \vec{u}_r$

Soit : $\vec{a} = (\ddot{r} - \omega^2 r) \vec{u}_r + 2\dot{r}\omega \vec{u}_\theta$;

I - Le mouvement de la bille a lieu sans frottement :

Q2. Référentiel : Terrestre supposé galiléen.

Base de projection cylindrique : $(\vec{u}_r; \vec{u}_\theta; \vec{u}_z)$

Système : La bille P de masse m .

Bilan des forces : $\left\{ \begin{array}{l} \text{Poids : } \vec{P} = m\vec{g} = -mg \vec{e}_z \\ \text{Réaction du support : } \vec{R} = R_1 \vec{u}_r + R_2 \vec{u}_\theta + R_3 \vec{u}_z \end{array} \right.$

Or mvt sans frottement sur le support, donc $R_1 = 0$ et $\vec{R} = R_2 \vec{u}_\theta + R_3 \vec{u}_z$

PFD à M : $\sum \vec{F} = m\vec{a}$ Donc $\vec{P} + \vec{R} = m\vec{a}$

avec $\vec{a} = (\ddot{r} - \omega^2 r) \vec{u}_r + 2\dot{r}\omega \vec{u}_\theta$.

Projetons sur les 3 axes : On obtient donc :

$$\left\{ \begin{array}{l} 0 = m(\ddot{r} - \omega^2 r) \\ R_2 = 2m\dot{r}\omega \\ -mg + R_3 = 0 \end{array} \right. \quad \text{Soit : } \left\{ \begin{array}{l} \ddot{r} - \omega^2 r = 0 \quad (1) \text{ Equation différentielle du mouvement.} \\ R_2 = 2m\dot{r}\omega \quad (2) \\ R_3 = mg \quad (3) \end{array} \right.$$

Q3. On veut résoudre : $\ddot{r} - \omega^2 r = 0$.

Equation caractéristique : $s^2 - \omega^2 = 0$; Soit : $s^2 = \omega^2$; D'où : $s = \pm \omega$;

Ainsi les solutions de l'équation différentielle sont de la forme : $r(t) = A e^{\omega t} + B e^{-\omega t}$;

1^{ère} CI : A t = 0, $r(0) = r_0 = A + B$

Et $\dot{r}(t) = A\omega e^{\omega t} - B\omega e^{-\omega t}$;

2^{ème} CI : A t = 0, $\dot{r}(0) = 0$; Donc : $0 = A\omega - B\omega$; Soit : $A = B$.

Conclusion : $A = B = \frac{r_0}{2}$; Et $r(t) = \frac{r_0}{2} (e^{\omega t} + e^{-\omega t}) = r_0 \cosh \omega t$;

Q4. L'énoncé donne : $\vec{R} = R_1 \vec{u}_r + R_2 \vec{u}_\theta + R_3 \vec{u}_z$ mais on a vu que $R_1 = 0$ donc $\vec{R} = R_2 \vec{u}_\theta + R_3 \vec{u}_z$.

De plus, d'après Q2, on a vu que : $R_2 = 2m\dot{r}\omega$ et $R_3 = mg$ (cf (2) et (3)).

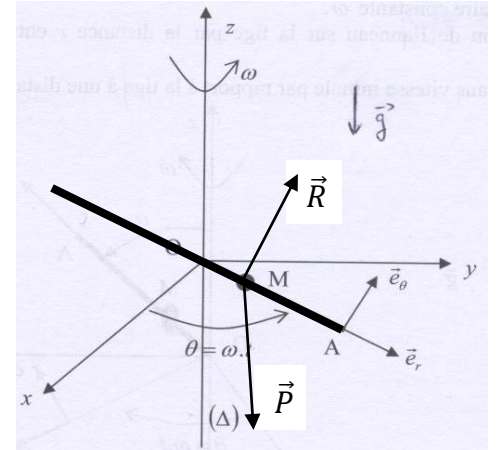
Ainsi : $\vec{R} = 2m\dot{r}\omega \vec{u}_\theta + mg \vec{u}_z$;

Ou encore avec $\dot{r} = \omega r_0 \sinh(\omega t)$; Soit : $\vec{R} = 2mr_0\omega^2 \sinh(\omega t) \vec{u}_\theta + mg \vec{u}_z$

Q5. La bille quitte le tube à l'instant $t = \tau$, lorsque $r = L$.

Soit : $L = r_0 \cosh(\omega \tau)$; Ou encore : $\tau = \frac{1}{\omega} \argch \frac{L}{r_0}$;

AN : $\tau = \frac{1}{2} \argch \left(\frac{0,1}{0,01} \right) = \frac{1}{2} \argch \left(\frac{1}{0,1} \right) = \frac{1}{2} \argch(10)$; On obtient : $\tau = 1,5 \text{ s}$.



II - Le mouvement de la bille est soumis à une force de frottement solide telle que $R_1 = -\mu R_3$:

Q6. On reprend la projection du principe fondamental de la dynamique avec $R_1 = -\mu R_3$:

$$\begin{cases} R_1 = m(\ddot{r} - \omega^2 r) & m(\ddot{r} - \omega^2 r) = -\mu R_3 : (1) \\ R_2 = 2m\dot{r}\omega & \text{Soit : } R_2 = 2m\dot{r}\omega \quad (2) \\ -mg + R_3 = 0 & R_3 = mg \quad (3) \end{cases}$$

Et comme $R_3 = mg$, il vient pour (1) : $\ddot{r} - \omega^2 r = -\mu g$; (CQFT) ; **Equation différentielle du mouvement.**

Q7. On nous aide : On multiplie par \dot{r} : $\ddot{r}\dot{r} - \omega^2 r\dot{r} = -\mu g\dot{r}$

Prenons une primitive du temps : $\frac{1}{2}\dot{r}^2 - \frac{1}{2}\omega^2 r^2 = -\mu g r + cste$.

Or à $t = 0$, $r(0) = 0$ et $\dot{r}(0) = v_0$, il vient donc : $\frac{1}{2}v_0^2 - 0 = 0 + cste$. Ainsi, $cste = \frac{1}{2}v_0^2$

D'où : $\frac{1}{2}\dot{r}^2 - \frac{1}{2}\omega^2 r^2 = -\mu g r + \frac{1}{2}v_0^2$; Ou encore : $\dot{r}^2 = \omega^2 r^2 - 2\mu g r + v_0^2$.

Q8. On nous indique que $v = \dot{r} = 0$ quand $r = r_1$.

Alors, il vient : $0 = \omega^2 r_1^2 - 2\mu g r_1 + v_0^2$; Soit : $2\mu g r_1 = \omega^2 r_1^2 + v_0^2$ et $\mu = \frac{\omega^2 r_1^2 + v_0^2}{2g r_1}$.

AN : Au bout du tube, $r_1 = L$: D'où $\mu = \frac{2^2 \cdot 0,1^2 + 0,5^2}{2 \times 9,81 \times 0,1}$; on obtient $\mu \approx 0,15$ (sans unité).

III – le tube étant rempli d'un liquide, le mouvement de la bille est maintenant soumis à une force de frottement fluide de la forme : $\vec{f} = -6\pi\eta b \dot{r} \vec{u}_r$:

Q9. Nouveau bilan des forces :

$$\begin{cases} \text{Poids : } \vec{P} = m\vec{g} = -mg\vec{e}_z. \\ \text{Réaction du support : } \vec{R} = R_1\vec{u}_r + R_2\vec{u}_\theta + R_3\vec{u}_z, \\ \text{Or mvt sans frottement sur le support, donc } R_1 = 0 \text{ et } \vec{R} = R_2\vec{u}_\theta + R_3\vec{u}_z \\ \text{Force de frottement fluide : } \vec{f} = -6\pi\eta b \dot{r} \vec{u}_r \end{cases}$$

PFD à M : $\sum \vec{F} = m\vec{a}$ Donc $\vec{P} + \vec{R} + \vec{f} = m\vec{a}$ avec $\vec{a} = (\ddot{r} - \omega^2 r)\vec{u}_r + 2\dot{r}\omega\vec{u}_\theta$.

Projetons sur l'axe du mouvement : On obtient donc :

$-6\pi\eta b \dot{r} = m(\ddot{r} - \omega^2 r)$ $\ddot{r} + \frac{6\pi\eta b}{m}\dot{r} - \omega^2 r = 0$: (1) **Equation différentielle du mouvement.**

Q10. On néglige la dérivée seconde $\frac{d^2 r}{dt^2}$.

Q10.a. C'est le cas si la force de frottements fluides est importante devant $m\ddot{r}$.

L'équation différentielle devient alors : $\frac{6\pi\eta b}{m}\dot{r} - \omega^2 r = 0$

Sous forme canonique, il vient : $\dot{r} - \frac{m\omega^2}{6\pi\eta b} r = 0$:

Equation différentielle du 1^{er} ordre à coefficients constants avec 2nd membre nul.

Alors la solution est de la forme : $r(t) = A e^{\frac{m\omega^2}{6\pi\eta b} t}$.

CI, à $t = 0$, $r(0) = r_0 = A$; D'où : $r(t) = r_0 e^{\frac{m\omega^2}{6\pi\eta b} t}$.

Q10.b. La bille arrive à l'extrémité du tube lorsque $r = L$, alors $t = t_0$.

Ainsi, $\ln\left(\frac{L}{r_0}\right) = \frac{m\omega^2}{6\pi\eta b} t_0$; D'où : $t_0 = \frac{6\pi\eta b}{m\omega^2} \ln\left(\frac{L}{r_0}\right)$.